

中部電力(株) 正員 河島 宏治・岡本 正由  
 中電工事(株) 正員 佐藤 公己  
 名古屋工業大学 正員 喜岡 渉

**1. はじめに** 近年、波浪制御構造物として、景観を損なうことがなく海水交換にも優れている、といった利点を有する没水型構造物が注目されている。従来の没水型構造物の波浪制御は、その幅を広くして強制碎波、透過、および反射を利用したものであると考えられる。本研究では砂止めプレート工を併用した没水型鋼管杭列を用い、構造物の幅を広くする代わりに鋼管杭列間の共振や鋼管杭周辺に発生する渦により波浪制御効果を持たせることを試みた。以下、水理模型実験による検討結果を報告する。

**2. 実験装置および実験方法** 実験には長さ74m、幅1.0m、高さ1.8mの反射吸収式造波装置を備えた二次元造波水槽を用いた。模型床は水平床とし、造波板から約40m離して勾配1/20のステップ型断面模型を設置し、これより10m離れた一様水深部h=28cm(M.W.L時)の位置に鋼管杭列模型を設置した。なお、沖側波水深は60cmとした(図-1参照)。模型の縮尺は代表波の諸元と造波能力より1/25とし、鋼管杭および砂止めプレートを図-2に示すよう単列または複列に設置し、杭頭から水面までの高さh<sub>r</sub>、杭列間隔P、砂止めプレート高h<sub>p</sub>をパラメータとした(表-1参照)。また、無次元パラメータとして開口面積率εを図-3のように定義した。実験波としては規則波を行い、海浜変形タイプを表わすCパラメータで分類した場合に侵食型となる波浪を表-2のように設定した。

入射波高的測定には沖側鋼管杭杭芯から4.0m離れた地点に入反射分離用に3本の波高計を設置し、同様に伝達波の測定にも岸側鋼管杭杭芯から2.0m離れた地点に波高計を3本設置した。なお、波浪伝達率K<sub>t</sub>および反射率K<sub>r</sub>はエネルギー比で算出した。

### 3. 実験結果および考察

(1) 単列配置での波浪制御効果 図-4は鋼管杭を単列に配置した場合のεとK<sub>t</sub>およびK<sub>r</sub>の関係を冲波周期Tで整理したものである。実験は各周期ごとに数種類の波高で行ったが、K<sub>t</sub>およびK<sub>r</sub>に有意な差がなかったため平均値を各周期の代表値とした。図より、K<sub>t</sub>およびK<sub>r</sub>とも周期の依存性はあまり見られず、εの関数として表現できることがわかった。

### (2) 複列配置での波浪制御効果

図-5は横軸に鋼管杭列を複列(2列)に配置した場合の杭列間隔と杭列設置水深での波長との比P/Lを、縦軸にK<sub>t</sub>およ

表-1 模型諸元  
単位: cm

杭径	D	4.8
杭突出高	h <sub>k</sub>	24.2
水面までの距離	h <sub>r</sub>	0.0(L.W.L時) 3.8(M.W.L時) 6.8(H.W.L時)
杭間隔	S	9.6
杭配列数	N	1列、2列
杭列間隔	P	8、20、43 86、130、173
砂止めプレート高	h <sub>p</sub>	0、6.1、12.1 18.2、24.2

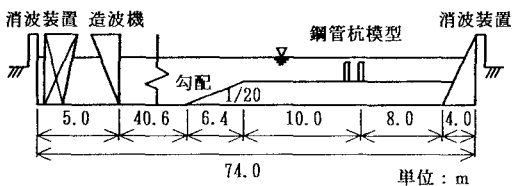


図-1 実験装置の概要

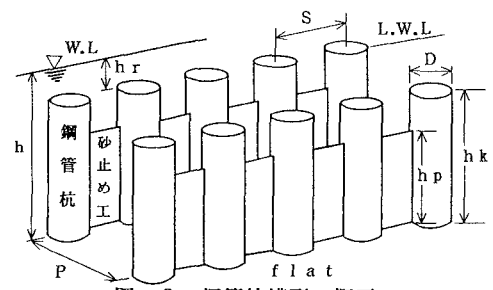


図-2 鋼管杭模型の概要

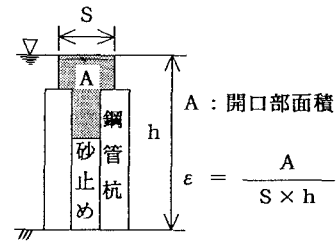


図-3 パラメータε

表-2 波浪条件

	周期	波高	波形勾配
W1	1.2 s	4.0~8.0cm	0.017~0.035
W2	1.6 s	4.0~10.0cm	0.010~0.025
W3	2.0 s	4.0~12.0cm	0.006~0.019
W4	2.4 s	4.0~12.0cm	0.005~0.013

び  $K_t$  をとり、それらの関係を示した。実験は  $h_r = 3.8\text{cm}$ 、岸・沖とも  $h_p = h_k = 24.2\text{cm}$  (この場合  $\epsilon = 0.136$ ) とし、(1)と同様、波高による有意な差はなかったため各  $P/L$  ごとに  $K_t$  および  $K_r$  の平均値で整理した。 $K_t$  は  $P/L > 0.20$  において 0.50 以下となり、全体的に見た場合  $P/L = 0.25$  から  $P/L = 0.75$  の範囲で波浪制御効果が比較的有効であると考えられる。また、 $K_r$  は  $P/L = 0.50$  付近で共振の影響が強まるためピーク値を示し、逆にその前後では共振の影響が弱まり  $K_r$  が小さくなる傾向が見られた。

これらの結果より、钢管杭列間の共振現象は、 $K_t$  よりも  $K_r$  に対してその影響がはっきりと表われ、実験結果から見る限り杭列間隔が波長の 0.25 から 0.75 に相当する場合に波浪制御効果が高まることがわかった。

(3) 単列配置と複列配置での  $K_t$  の関係 図-6 は表-2 の波浪条件 W1 で  $P/L = 0.75$ 、W4 で  $P/L = 0.33$  に相当する  $P = 130\text{cm}$  の複列配置での  $K_t$  を縦軸にとり、その場合の岸側および沖側の钢管杭列を独立したものとし、それぞれの単列配置時の  $K_t$  の実験結果の積 “ $K_t$  (岸)  $\times K_t$  (沖)” を横軸にとり、その関係を示した。実験は  $h_r = 3.8\text{cm}$  として、 $h_p$  および波浪条件 W を変えることにより、計 425 ケースの結果をプロットした。図より単列配置での実験結果の  $K_t$  の積は、 $P = 130\text{cm}$  の場合の複列配置での実験結果の  $K_t$  と比較的良く一致しており、図には示さなかったが、表-2 の波浪条件で  $P/L = 0.25 \sim 0.11$  に相当する  $P = 43\text{cm}$  の場合の複列配置の  $K_t$  とはあまり一致しなかった。これらの結果から钢管杭列間の距離をある程度とれば、岸側および沖側の钢管杭列はそれぞれ独立した状態と同等の波浪制御効果が期待できるのではないかと考えられる。したがって、钢管杭列諸元より  $\epsilon$  が決定すれば、図-4 の単列配置での  $K_t$  を用いて複列配置での  $K_t$  を容易に推定することが可能であると思われる。

**4. まとめ** 今回検討した砂止め工併用没水型钢管杭は、岸沖方向に複列配置することにより、杭列間の共振や杭周辺に発生する渦により波浪制御効果が期待でき、また、その配置間隔をある程度とれば波浪伝達率も比較的容易に推定できることがわかった。今後は不規則波での検討や移動床での検討、そして数値解析なども含め総合的に評価していく予定である。

#### 参考文献

- 1) 喜岡 渉・戸川健司・間瀬 肇 (1993) : 潜堤断面形の最適化に関する研究、土木学会中部支部研究発表会講演概要集、pp. 277-278.

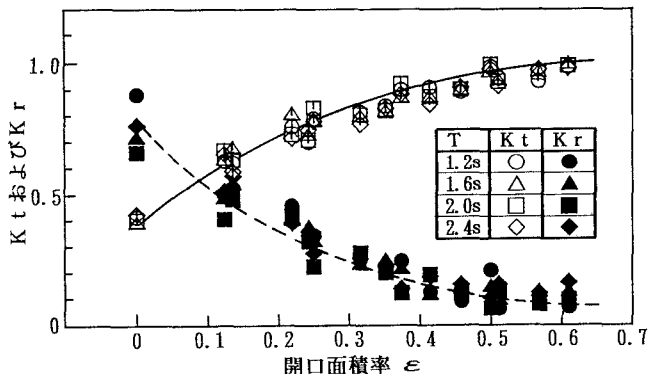


図-4 単列配置での波浪制御効果

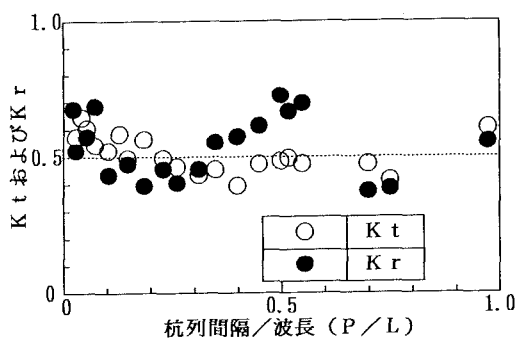
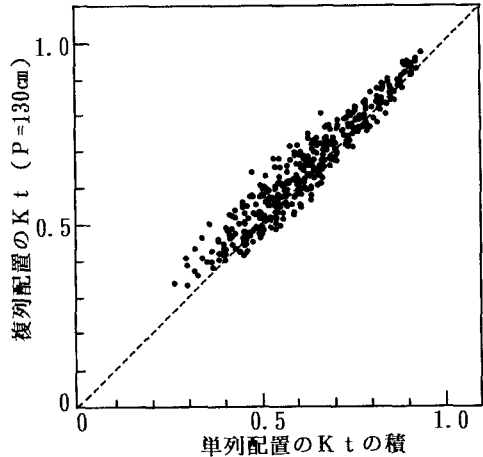


図-5 複列配置での波浪制御効果

図-6 単列配置と複列配置での  $K_t$  の関係